

コンクリート構造物部材断面の破壊の安全度に関する一考察

国鉄 構造物設計事務所 岩田尚彦

1. 緒言

構造物は、安全かつ経済的にその目的に適合するように設計されなければならぬことは勿論であるが、経済的でなくことにとらわれて構造物の目的に適合しないものや、所要の安全度をもたない構造物とくつこではなくない。また、構造物の設計方法は、構造物または部材が工事中および使用期間中に受けた荷重作用により、過度な変形、異常な変位、有害なひずれを生じて使用に適しない状態となれば、あるいは破壊等を生じて使用不可能となることを防ぐため、十分安全であることを保証するものでなければならぬ。したがって、構造物の使用に適しない状態となれば、使用不可能となることに対する安全度工夫は、適切な設計方法を用いて安全度を検討する必要があると思われる。

以下に、コンクリート構造物部材断面の破壊の安全度の基本概念と、耐用命数期間中に構造物が受けた組合せられた状態の荷重、および荷重作用に対する部材断面の破壊の安全度について考察するとしてしたい。

2. コンクリート部材断面の破壊の安全度の基本概念

コンクリート部材断面の破壊の安全度の基本概念は、一般に下記のように表されるところである。
すなわち、その断面に作用する荷重作用(構造物または部材に応力を生ぜしめるすべての作用)をベクトル \mathbf{S} とし、その成分を $S_1, S_2, S_3, \dots, S_n$ と表わし、部材断面の強度(材料強度、構造特性)をベクトル \mathbf{R} とし、その成分を $R_1, R_2, R_3, \dots, R_n$ と表わせば、荷重作用および部材断面の強度の確率密度函数はそれぞれ $f_S(S_1, S_2, S_3, \dots, S_n)$, $f_R(R_1, R_2, R_3, \dots, R_n)$ となる。この場合、 \mathbf{S} と \mathbf{R} が統計的に互いに独立ならば、部材断面の破壊の確率 P_f は

$$P_f = \int_{D_n} f_S(S_1, S_2, \dots, S_n) f_R(R_1, R_2, R_3, \dots, R_n) dS_1 dS_2 \dots dS_n dR_1 dR_2 \dots dR_n \quad (2.1)$$

と表わされる。

ここで表わされた部材断面の破壊の確率 P_f は、本章題する二つの之一の統計的確率を定義するものであり、いわゆる客観的な不明の量を表わすためのものである。

したがって、実際に構造物を設計・施工する場合には、表-1の如き諸要因か、その調査計画、設計計算、施工の各段階に応じて考えられ、前者に対してこれはいわば主観的な不明の量を表わすものと考えられる。この主観的な不明量を確率として取扱い、信頼性に基づく設計法を行なうとしたAug. H.S and Amin. Mによる拡張された信頼性理論である。⁽²²⁾

また、土木構造物を建設することにより、それを必要とする地域社会の開発あるは発展を促進するなど、社会活動の新しい端を造り出す: といふ点からみれば、この意味において土木構造物の安全度の値を決定することは、つまりその地域社会の活動と評価する度合を決める事にほかならぬ。したがって、この安全度の値としては地域社会の活動の程度、経済的能力、将来に亘る發展の可能性などを考慮に入れて定められなければならないので、経験的公判則とくわしくせざるを得ない事情もある。

上記安全度の概念と具體として、鉄筋コンクリートの部材断面の安全度の概念と併せて、更に
1) Aug. H.S and Amin. M "Safety factor and probability in structural Design." Proc. Struct. Division ASCE July, 1969.
2) Aug. H.S and Amin. M "Reliability of structures and structural systems." Proc. Eng. Mech. Division ASCE April, 1968.

に用ひられる構造物の目的に適合するようにそれそれつきのよりな状態を考慮に入れなければならぬと思われる。

構造物、またはその構成部材がある特別な状態に達したとき、それが設計された目的に適しくないとき、目的を達成することは不可能となるよりな状態は、今日、限界状態(*états limites* あるいは *limit states*)と一般に呼ばれてゐる。この限界状態には、正常な使用と耐久性とに關係する条件を満足できないなり、使用に適さなくなつた使用限界状態(*état limite d'utilisation* あるいは *serviceability limit states*)と、最大耐荷力に相応した条件の滿足を失くなり使用不可能となる終局限界状態(*état limite ultime* あるいは *ultimate limit states*)との2つに大別される。

使用限界状態には構造物の正常な条件に失へて変位、変形または振動が過大となる状態、かかわらざり過大となる、この構造物の外観を害し、かゝ鋼材の腐食が進行する状態などがある。

また、終局限界状態には外的荷重作用を考慮した値以上に過大となるか、材料に欠陥が生ずるかして断面が破壊する状態、鋼材の先端部が破壊する状態、変形、軋挽、振動などによる構造物主たる部材の安定が失なわれる状態、荷重の降り返しによるコンクリートまたは鋼材の飛行破壊が生ずる状態などがある。

したがつて、コンクリート構造物、あるいは部材の設計計算上考慮に入れなければならない限界状態としては、强度の条件としての終局限界状態、変形、耐久性の条件としての使用限界状態があり、構造物がこれらの限界状態を越えた場合には、社会のうちで損害の程度、心理的知覚などを考慮するために、それらの限界状態に応じた材料強度、荷重作用の特性値をそれぞれ定めることを必要にする。

3. 組合せ荷重と荷重作用³⁾

何個の互に独立した荷重を組合せられた一般的な荷重状態における構造物の部材(断面)の破壊の安全性は、つきの条件の満足された場合に定義されると言える。

$$S^* = \gamma_s s (\gamma_{a, g_1}, \gamma_{a, g_2}, \dots, \gamma_{a, g_n}) \in \Omega_R (r_1^*, r_2^*, r_3^*, \dots, r_n^*) \quad \cdots (3.1)$$

$\gamma = k$ 、 S^* : 計算用荷重作用のベクトル、 γ_s : 荷重作用係数。

γ_a : 荷重、 γ_{a, g_n} : 荷重 γ_a に対する係数

Ω_R : 計算用部材強度により表わされた領域、 r_i^* : 計算用部材強度

一般に、領域 Ω_R は座標系の原点より任意の方向にひろがつており、その境界の位置ベクトルを $R^* (r_1^*, r_2^*, r_3^*, \dots, r_n^*)$ と表わせば、座標系の原点より座標軸にに対してある角度 θ とともに、計算用荷重

³⁾ Bulletin officiel du Ministère de l'Équipement et du Logement. Fascicule spécial N° 71~100 bis Circulaire N° 71~145 du 13 Decembre 1971

表 - 1

断面の破壊安全度に影響する要因											
調査・計画		設計計算			施工						
荷重	材料の特性		構造の形状	誤差	構成	失格条件	打込み	配筋	施工	設計図に付す相違	シラナ等の仕様
	強度	変形									
静的荷重	静的強度	静的变形	計算の正確度	誤差	構成	失格条件	打込み	配筋	施工	設計図に付す相違	シラナ等の仕様
動的荷重	動的強度	動的变形	瞬間強度	瞬間誤差	動的構成	動的失格条件	動的打込み	動的配筋	動的施工	動的設計図に付す相違	動的シラナ等の仕様
疲労荷重	疲労強度	疲労变形	疲労強度	疲労誤差	疲労構成	疲労失格条件	疲労打込み	疲労配筋	疲労施工	疲労設計図に付す相違	疲労シラナ等の仕様
温度荷重	温度強度	温度变形	温度強度	温度誤差	温度構成	温度失格条件	温度打込み	温度配筋	温度施工	温度設計図に付す相違	温度シラナ等の仕様
地盤荷重	地盤強度	地盤变形	地盤強度	地盤誤差	地盤構成	地盤失格条件	地盤打込み	地盤配筋	地盤施工	地盤設計図に付す相違	地盤シラナ等の仕様
風荷重	風強度	風变形	風強度	風誤差	風構成	風失格条件	風打込み	風配筋	風施工	風設計図に付す相違	風シラナ等の仕様
水荷重	水強度	水变形	水強度	水誤差	水構成	水失格条件	水打込み	水配筋	水施工	水設計図に付す相違	水シラナ等の仕様
雪荷重	雪強度	雪变形	雪強度	雪誤差	雪構成	雪失格条件	雪打込み	雪配筋	雪施工	雪設計図に付す相違	雪シラナ等の仕様
地震荷重	地震強度	地震变形	地震強度	地震誤差	地震構成	地震失格条件	地震打込み	地震配筋	地震施工	地震設計図に付す相違	地震シラナ等の仕様
振動荷重	振動強度	振動変形	振動強度	振動誤差	振動構成	振動失格条件	振動打込み	振動配筋	振動施工	振動設計図に付す相違	振動シラナ等の仕様
荷重不足	荷重不足	荷重不足	荷重不足	荷重不足	荷重不足	荷重不足	荷重不足	荷重不足	荷重不足	荷重不足	荷重不足
荷重過量	荷重過量	荷重過量	荷重過量	荷重過量	荷重過量	荷重過量	荷重過量	荷重過量	荷重過量	荷重過量	荷重過量
失格	失格	失格	失格	失格	失格	失格	失格	失格	失格	失格	失格
差	差	差	差	差	差	差	差	差	差	差	差

「限界状態」

強度	終局限界状態	
	疲劳限界状態	疲劳限界状態
変形	変形限界状態	変形限界状態
耐久性	耐久性限界状態	耐久性限界状態

作用のベクトル S_0^* と、計算用荷重係数のベクトル R_0^* の関係式(3.2)で示される。

$$|S_0^*| = \gamma_s |S(\gamma_1 q_1, \gamma_2 q_2, \dots, \gamma_n q_n)| < |R_0^*(r_1^*, r_2^*, r_3^*, \dots, r_n^*)| \quad \dots \dots (3.2)$$

今 n 個の荷重と m 個の荷重作用との関係が線形で表わされると仮定すれば マトリックス[A]によると、 $S = [A] \cdot \gamma_q \cdot Q$ と表わすことができる、ベクトル $S(\gamma_1 q_1, \gamma_2 q_2, \dots, \gamma_n q_n)$ は ベクトル $S_0(\gamma_q q_0)$ の形となる。また、 $S_0(\gamma_q q_0) = \gamma_q S(q_0)$ となり、式(3.2)はつきのようになくなる。

$$|S_0^*| = |\{ \gamma_1 \gamma_q S(q_1) + \gamma_2 \gamma_q S(q_2) + \gamma_3 \gamma_q S(q_3) + \dots + \gamma_n \gamma_q S(q_n) \}| < |R_0^*| \quad \dots \dots (3.3)$$

ここで 記号 γ_q はベクトルを表す。したがって $\gamma_q = \gamma_q \gamma_q$ とおけば 式(3.3)の右辺は

$$|\{ \gamma_1 S(q_1) + \gamma_2 S(q_2) + \gamma_3 S(q_3) + \dots + \gamma_n S(q_n) \}| < |R_0^*| \quad \dots \dots (3.4) \text{ あるいは}$$

$$|\{ S_1(\gamma_1 q_1) + S_2(\gamma_2 q_2) + S_3(\gamma_3 q_3) + \dots + S_m(\gamma_m q_m) \}| < |R_0^*| \quad \dots \dots (3.5) \text{ となる。}$$

これらの方程式(3.2), (3.3), (3.4), (3.5)の関係は n 個の荷重と m 個の荷重作用との関係が非線形の場合には $|S_0^*| = |\{ \gamma_1 S_1(\gamma_1 q_1) + \gamma_2 S_2(\gamma_2 q_2) + \dots + \gamma_m S_m(\gamma_m q_m) \}| < |R_0^*| \quad \dots \dots (3.6)$ となる。

これらの仮定では、荷重 q_i はある時間当たり一定としているから この関係が成り立たない場合にはこのある時間に作用する荷重の最小値あるいは最大値を $q_{i\min}$ と $q_{i\max}$ とし、これらの最小値あるいは最大値の分布を基準の分布と呼ぶ、この分布から耐用命数中に受けた荷重の特性値(たとえば、定められたある値と下限を確率が 5% である値の如く)を定めるのが一般と思われる。荷重が、降り返し荷重の場合には、ある時間内で変化するため 基準とする荷重の分布は ある時間内の最大荷重強度あるいは最大荷重強度に関する確率分布とみなされ、 $S_0(\gamma_q q_0) = \gamma_q S(q_0)$ の関係を表わされると荷重 q_0 の値は上記のように一般には 荷重の特性値を用いて表わすのが実用的であると思われる。

以下、これらの概念を基礎とし、組合せ荷重を受けた構造物の損傷部破断面の破壊の実験的確率について検討を行なうこととし、その安全度を検討する過程においては 実用上の配慮から 荷重作用の計算値で一般に表わされた部材強度と、荷重作用で表わされた計算値とをくらべることにより、其安全度を評価する方法ととおる。

3.1 荷重と荷重作用との関係が線形である場合

荷重ベクトルを Q 、荷重作用ベクトルを S とし、交換マトリックスと[A]を表わせば、荷重と荷重作用との線形の関係は 式(3.6)のように表わすことができる。 $S = [A] \cdot Q \quad \dots \dots (3.6)$

この式(3.6)は 荷重ベクトル Q を表わす n 個の要素を $q_1, q_2, q_3, \dots, q_n$ 、荷重作用ベクトル S の m 個の要素を $S_1, S_2, S_3, \dots, S_m$ とすれば

$$\left. \begin{aligned} S_1 &= a_{11} q_1 + a_{12} q_2 + \dots + a_{1n} q_n \\ S_2 &= a_{21} q_1 + a_{22} q_2 + \dots + a_{2n} q_n \\ &\vdots && \vdots && \vdots \\ S_m &= a_{m1} q_1 + a_{m2} q_2 + \dots + a_{mn} q_n \end{aligned} \right\} m \text{ 個} \quad \dots \dots (3.7)$$

を表わす。

この場合には 荷重ベクトル Q の n 個の要素と、荷重作用ベクトル S の m 個の要素との組合せには $n = m$, $n > m$, $n < m$ の 3 つの場合がある。

(i) $n = m$ の場合

$$\text{式(3.7) より } Q = [A]^{-1} S = [B] S \quad \dots \dots (3.8)$$

すなわち式(3.8)は $q_1 = B_{11}S_1 + B_{12}S_2 + B_{13}S_3 + \cdots + B_{1n}S_n$
 $q_2 = B_{21}S_1 + B_{22}S_2 + B_{23}S_3 + \cdots + B_{2n}S_n$
 \vdots
 $q_n = B_{n1}S_1 + B_{n2}S_2 + B_{n3}S_3 + \cdots + B_{nn}S_n \quad \cdots \cdots \quad (3.8)$ を表す。
 $\int \infty^{\infty} \int \cdots \int f(S) dS_1 dS_2 \cdots dS_n = f(S_1, S_2, S_3, \cdots, S_n) dS_1 dS_2 dS_3 \cdots dS_n$
 $= f(q_1 = B_{11}S_1 + B_{12}S_2 + \cdots + B_{1n}S_n, \cdots, q_n = B_{n1}S_1 + B_{n2}S_2 + \cdots + B_{nn}S_n) \cdot J \cdot dS_1 dS_2 \cdots dS_n$
 $= \int \cdots \int J \text{は Jacobian } \int$

$$J = \frac{\partial(q_1, q_2, \cdots, q_n)}{\partial(S_1, S_2, S_3, \cdots, S_n)} = \frac{\partial(q_i)}{\partial(S_i)} = \frac{1}{\begin{vmatrix} a_{11} & \cdots & a_{1n} \\ \vdots & \ddots & \vdots \\ a_{ni} & \cdots & a_{nn} \end{vmatrix}} = \frac{1}{|A_m|}$$

---- (3.9) と表わされる。

(ii) $n > m$ の場合

(i) の場合と同様に $\int f(S) dS_1 dS_2 dS_3 \cdots dS_m$ は

$$\begin{aligned} f(S) dS_1 dS_2 dS_3 \cdots dS_m &= f(S_1, S_2, S_3, \cdots, S_m) dS_1 dS_2 dS_3 \cdots dS_m = \\ &= \int_{D_{m \times m}} f(q_1 = B_{11}S_1 + B_{12}S_2 + \cdots + B_{1m}S_m, q_2 = B_{21}S_1 + \cdots + B_{2m}S_m, \cdots, q_n = B_{n1}S_1 + \cdots + B_{nm}S_m) dS_1 dS_2 \cdots dS_m \end{aligned} \quad \cdots (3.10) \text{ となる。}$$

(iii) $n < m$ の場合

$$(i) (ii) の場合と同様に $\int f(S) dS_1 dS_2 dS_3 \cdots dS_n = f(q_1 = B_{11}S_1 + B_{12}S_2 + \cdots + B_{1n}S_n, \cdots, q_n = B_{n1}S_1 + \cdots + B_{nn}S_n) \times \frac{1}{|A_m|} dS_1 \cdots dS_n$ $\cdots (3.11) \text{ となる。}$$$

3.2 荷重と荷重作用との関係が非線形である場合

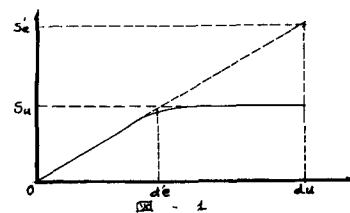
荷重と荷重作用との関係が非線形である場合には、荷重の統計的分布と荷重作用の統計的分布に置き換えることは一般に困難であり、荷重作用が荷重の変動の程度に従い、また荷重の変動の法則が定められていないならば、荷重と荷重作用との関係を定めるにはできないので確率も定められないことになる。したがって、この問題を单纯化した場合に付けて、ここで考慮するとしている。

单纯化としては、まず荷重作用は最大2成分とし、回転モーメントと軸力の再配分が容易に求められる場合とする。

荷重と荷重作用との関係が非線形である場合は一般に、幾何学的な条件ある物理的条件によるとされ、これがここでは既知的の条件による場合を考へる。この場合、安全性の評価を荷重作用で表わされた荷重と、荷重作用で表わされた部材強度とくらべることによつて行はうのは適当ではなく、そのため、非線形のモデルとして図-1 の如く

変形と荷重作用との関係を Bi-linear で表わし、その剛性低下率 $K = \frac{de}{du} = \frac{S_u}{S_e}$ を用ひれば 安全度は

(i) 变形量を荷重で表し、作用する荷重によく変形量と極限変形量とを比較する方法、か (ii) 弾性理論で計算された荷重作用によつて荷重を表現し、部材強度と比較する場合には、剛性低下率によつて弾性理論で求めた荷重作用に乘す方法、が考へられる。



ii) の方法によれば、荷重を荷重作用に線形変換する係数に 適当な剛性率を乗す = とてからひき开くの荷重を力で表す = とかで実用的であると思われる。

一例として、柱下端が固定の門型ラーメンの水平部材の中央に鉛直荷重 q_1 が作用し、1つの柱の上端に水平荷重 q_2 がかかる場合を考えると、この荷重により、門型ラーメンが弾性的に作用する場合に柱下端の曲げモーメント $S_1 = a_{11}q_1 + a_{12}q_2$ 、柱の軸力 $S_2 = a_{21}q_1 + a_{22}q_2$ で表わされる。この場合、水平荷重 q_2 による柱上端の変位量を d とし、この変位量が $d = du$ となる時にもう一ラーメンが破壊すれば $S_1 = a_{11}q_1 + k a_{12}q_2$ と表わしある。

4. 組み合わせ荷重を受けた部材断面の安全度の検討の一例。

組み合わせ荷重を受けた部材断面の安全度の検討を行なうにあたり、その一例として、2つの正規分布する荷重の組合せを、荷重と荷重作用との関係は線形であると仮定すると 荷重の確率密度函数 $f(q_i)$ は $f(q_i) = \frac{1}{\sqrt{2\pi}\sigma_{q_i}} \exp\left(-\frac{(q_i - \bar{q}_i)^2}{2\sigma_{q_i}^2}\right)$ (4.1) $S_1 = a_{11}q_1 + a_{12}q_2$ (4.2) $S_2 = a_{21}q_1 + a_{22}q_2$

荷重作用の確率密度函数 $f(S_1, S_2)$ は

$$f(S_1, S_2) = \frac{1}{2\pi\sigma_{S_1}\sigma_{S_2}\sqrt{1-\rho^2}} \exp\left(-\frac{\lambda^2}{2(1-\rho^2)}\right) \quad \dots \dots \dots \quad (4.3)$$

と表わしある。

$\vdash = k$,

$$\lambda^2 = \frac{(S_1 - \bar{S}_1)^2}{\sigma_{S_1}^2} - 2\rho \frac{(S_1 - \bar{S}_1)(S_2 - \bar{S}_2)}{\sigma_{S_1}\sigma_{S_2}} + \frac{(S_2 - \bar{S}_2)^2}{\sigma_{S_2}^2} \quad \dots \dots \dots \quad (4.4)$$

$$\bar{S}_1 = a_{11}\bar{q}_1 + a_{12}\bar{q}_2 \quad \dots \dots \quad (4.5), \quad \bar{S}_2 = a_{21}\bar{q}_1 + a_{22}\bar{q}_2 \quad \dots \dots \quad (4.6)$$

$$\sigma_{S_1}^2 = a_{11}^2\sigma_{q_1}^2 + a_{12}^2\sigma_{q_2}^2 \quad \dots \dots \quad (4.7), \quad \sigma_{S_2}^2 = a_{21}^2\sigma_{q_1}^2 + a_{22}^2\sigma_{q_2}^2 \quad \dots \dots \quad (4.8)$$

$$\rho = \frac{a_{11}a_{12}\sigma_{q_1}^2 + a_{12}a_{22}\sigma_{q_2}^2}{\sigma_{S_1}\sigma_{S_2}} \quad \dots \dots \dots \quad (4.9)$$

荷重作用の確率密度函数 $f(S_1, S_2) = C$ より

$$\lambda^2 = -2(1-\rho^2) \log_e(2\pi\sigma_{S_1}\sigma_{S_2}\sqrt{1-\rho^2}f(S_1, S_2)) \quad \dots \dots \quad (4.10)$$

これらの曲線は橢円を表わし(図-2), 座標軸と主軸

とのなす角を α とする $\tan 2\alpha = \frac{2\rho\sigma_{S_1}\sigma_{S_2}}{\sigma_{S_1}^2 - \sigma_{S_2}^2}$... (4.11)

これは S_1 の分布と S_2 の分布との関係がなけれ

ば $P = 0$ を表わすことからとる。

$$\lambda^2 = -2 \log_e(2\pi\sigma_{S_1}\sigma_{S_2}f(S_1, S_2)) \text{ とす}.$$

したがって

$$\lambda^2 = \frac{(S_1 - \bar{S}_1)^2}{\sigma_{S_1}^2} + \frac{(S_2 - \bar{S}_2)^2}{\sigma_{S_2}^2} \quad \dots \dots \quad (4.12)$$

このようにして得られる2つの荷重の組合せの確

率を多數の荷重の組合せの場合まで一般化するために

には、まず2つの荷重の組合せの場合について解析

し、更に1つの荷重を組合せた場合について同様な

解析を行ない、この方法を逐次的に繰り返すことによ、て可能となると思われる。

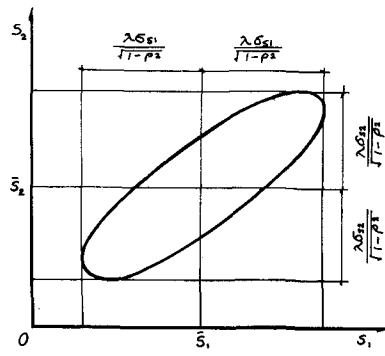


図-2

部材断面の安全度は、荷重作用で上記のように表現される組合せ荷重の計算用値と、荷重作用で表わされる部材強度の計算用値とを比較することによって、正確かいかが実用的であるとして、荷重作用で表わされる組合せ荷重の上記の图形による表示と、荷重作用で表わされる部材強度の图形による表示との関連を表わすには、後者の場合の图形による表示が必要とされる。(図-3)

断面強度は、そのベクトルの要素 r_1, r_2 および r_3 で表わされる確率密度函数 $f(r_1, r_2) = C$ の断面に対する積分である。函数 $f(r_1, r_2) = C$ は一般に、組合せ荷重と荷重作用で表わされた確率密度函数 $f(s_1, s_2)$ の主軸 s_1 とは直交しないから、单纯化して直交であるとして、主軸 s_1 の変数で表わされる強度の確率密度も正規分布型であるとすれば

$$f_R(x) = \frac{1}{\sqrt{2\pi} \sigma_{x_R}} \exp\left(-\frac{(x - \bar{x}_R)^2}{2\sigma_{x_R}^2}\right) \quad \dots (4.13)$$

したがって、部材断面の破壊の確率 P_f は元軸に沿って表されれば $P_f = \int_{-\infty}^{\infty} f_a(x) F_R(x) dx \quad \dots (4.14)$

で計算することができる。

この破壊の確率 P_f を (4.14) によると、それと他の確率の分布函数と用いて $1 - F_a(x), F_R(x)$ を計算し、比較することにより、ても求めることができることはないかと思われる。

上記の仮定を用いて組合せ荷重を度量する部材断面の破壊に対する安全度を検討する場合には、原点 O' から s_1 の方向へ向うベクトルると、厚さ δ から成る向へ向うベクトル R^* が、近似的に同じ方向と見做すことができるれば $|S^*(r_{ax}, r_{ay})| < |R^*(r_1^*, r_2^*)| \dots (4.15)$ を満足し、もし、荷重と荷重作用との関係が線形であれば式 (4.15) は一般に $|S^*(s_k)| < |R^*| \dots (4.16)$ と表わすことができる r_1^*, r_2^* この場合は、いわゆる 安全度を表わすことになると考えられる。

5. あとがき

コンクリート構造物部材断面の破壊の安全度について、種々の観点から考察を試みたが、これらの考察はあくまでも 簡単化による級進的感を脱してはおらず、かわりの議論の余地が残されていると考える。例えば、実際の荷重分布などのように既存的に処理するかはーつの課題であろうと思われる。

また、ここでは 質問の関係で 構造物の耐用命設計に繋り返して作用する荷重の場合については触れることができたが、だから永久荷重(あるいは固定荷重)を土とし、これを基準に 他の他の組合せられた荷重による繋り返しの回数を評価して、破壊あるは非破壊の確率を累積表示することにより、部材断面の安全度の評価を一般化することができるのでないかと思われる。

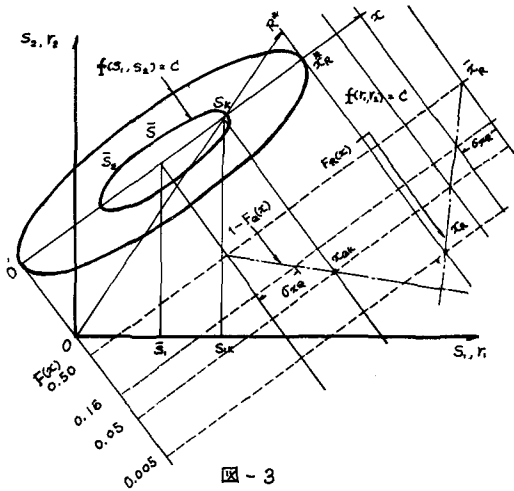


図-3